

УДК 621.396

М.М. Проценко, к.т.н., пров.н.с.

Житомирський військовий інститут ім. С.П. Корольова Національного авіаційного університету

МАТЕМАТИЧНА МОДЕЛЬ ОПТИЧНИХ ЗОБРАЖЕНЬ У ВИГЛЯДІ 2D-ПОСЛІДОВНОСТІ

Розглянуто завдання, що вирішуються при цифровій обробці зображень у безпілотних авіаційних системах (БАС). Проаналізовано процес формування та дискретизації оптичних зображень, обрано їх математичну модель у вигляді 2D-послідовності, розглянуто перспективи розвитку напряму.

Ключові слова: оптичні зображення, математична модель, безпілотні авіаційні системи.

Постановка проблеми. Методи обробки зображень мають надзвичайно важливе значення в сучасній науці, вони безперервно розвиваються та вдосконалюються. При цьому під обробкою зображень у БАС розуміють не лише поліпшення зорового сприйняття, але й класифікацію об'єктів, що виконується при аналізі зображень [1–4].

Сфери застосування методів цифрової обробки зображень в наш час значно розширюються, витісняючи аналогові методи. Вони застосовуються при автоматизації виявлення об'єктів, розпізнаванні образів тощо. Передача цифрових зображень в БАС передбачає усе більші потоки інформації. Формування зображень, поліпшення якості та автоматизація їх обробки є предметом сучасних досліджень та розробок [1, 2, 4]. Автоматичний аналіз у системах дистанційного моніторингу (спостереження) широко застосовується при аналізі місцевості, у системах протипожежної безпеки.

Огляд останніх досліджень і публікацій. На даний час багато публікацій присвячено проблемним питанням передачі та обробки цифрових фотозображенів в БАС. Основні з яких досліджуються в таких публікаціях: у [1] розглядаються методи і алгоритми цифрової обробки в оптико-електронних приладах; у [2] наведено стандарти передачі відео та фото інформації; у [3] розглядаються вимоги до каналів зв'язку з безпілотним літальним апаратом та визначені найбільш перспективні шляхи їх реалізації. Проте питання розробки математичних моделей оптичних зображень є недостатньо вивчені.

Формулювання завдання дослідження. Результати обробки фотозображенів суттєво залежать від вибору раціональної моделі сигналу. При цьому необхідно враховувати умови завдання, що вирішуються, якість та форму запису (безперервну або дискретну) [3]. Прийнята модель повинна враховувати особливості фотозображення, бути пристосованою до наявних засобів, методів та алгоритмів обробки. Часто ці вимоги суперечливі, і тому при виборі моделі зазвичай керуються деякими загальними розуміннями. Залежно від апріорної інформації про сигнал використовуються або детерміновані, або статистичні моделі. Перші моделі сигналів виражаються аналітичним описом, а другі – описуються тими чи іншими імовірнісними характеристиками і використовуються при аналізі випадкових процесів. За своєю природою фізичні процеси мають статистичний характер, обумовлений безліччю факторів, що враховуються, так і тих, що не враховуються, зокрема дією перешкод. Крім того, результати вимірювань супроводжуються похибками. Тому чим краще враховуються ці фактори, тим вища ступінь адекватності моделі реальному сигналу.

Метою статті є розробка математичної моделі цифрових оптичних зображень у вигляді 2D-послідовності.

Викладення основного матеріалу дослідження. Модель (від лат. “modulus” – зразок, норма, міра) – це об'єкт, що заміщує оригінал і відбуває його найважливіші риси й властивості для даного дослідження, даної мети дослідження за обраної системи гіпотез.

Математична модель – це абстракція реальної дійсності (світу), в якій відношення між реальними елементами, а саме ті, що цікавлять дослідника, замінені відношеннями між математичними категоріями. Ці відношення зазвичай надаються у формі рівнянь чи нерівностей, відношеннями формальної логіки між показниками (змінними), які характеризують функціонування реальної системи, що моделюється.

Сутність методології математичного моделювання полягає в заміні досліджуваного об'єкта його математичною моделлю – і подальшим вивченням (дослідженням) моделі на підставі аналітичних методів та обчислювально-логічних алгоритмів, які реалізуються за допомогою комп’ютерних програм. Робота не з самим об'єктом (явищем, процесом), а з його моделлю дає можливість відносно швидко досліджувати його основні (суттєві) властивості та поведінку за будь-яких імовірних ситуацій (це переваги теорії). Водночас обчислювальні (комп’ютерні, симулятивні, імітаційні) експерименти з моделями об'єктів дозволяють ретельно та досить глибоко вивчати об'єкт, що недоступно суттєво теоретичним підходам (це перевага експерименту).

При цифровій обробці зображень в БАС вирішується широке коло завдань:

– реєстрація зображення та його перетворення в цифрову форму;

- стиснення зображення та кодування;
- передавання зображення каналом зв’язку;
- декодування та корекція (за необхідності) зображення (фільтрація);
- дешифрування зображення (виділення ознак об’єктів моніторингу).

Через недосконалість систем реєстрації записане зображення є спотвореною копією оригіналу. Основними причинами спотворень, що призводять до погіршення чіткості, є обмежена роздільна здатність системи реєстрації, розфокусування, наявність спотворень за рахунок впливу середовища (атмосфери), рух камери по відношенню до об’єкта, що реєструється, тощо. Усунення або послаблення спотворень з метою підвищення різкості належить до завдання відновлення зображень.

Розглянемо об’єкт, освітлений джерелом світла (рис. 1). На деякій відстані від об’єкта розподіл енергії джерела світлового випромінювання, відбитого об’єктом, за просторовими координатами x , y і за довжинами хвиль λ описується функцією $c(x, y, \lambda)$. Максимальне значення світлочутливості обмежене граничною величиною фотoreєструючого середовища,

$$0 \leq c(x, y, \lambda) \leq A, \quad (1)$$

де A – максимальна яскравість зображення.

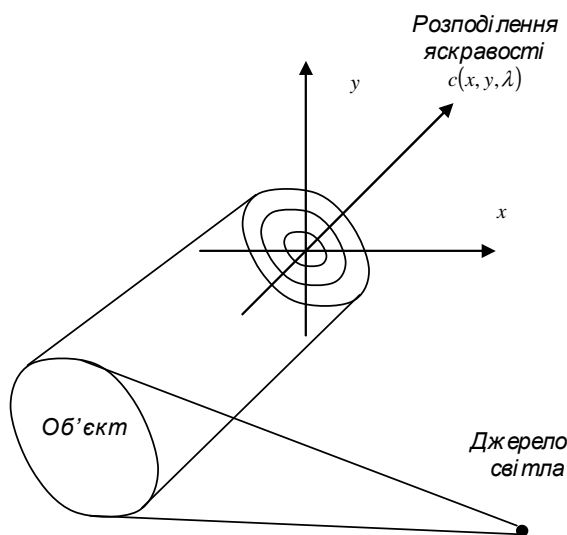


Рис. 1. Формування зображення об’єкта, що освітлений джерелом світла

Геометричні розміри зображення обмежені характеристиками формуючої системи і параметрами фотoreєструючого середовища. Вважатимемо, що усі зображення відмінні від нуля в прямокутній області:

$$-L_x \leq x \leq L_x, -L_y \leq y \leq L_y. \quad (2)$$

Людський зір і засоби фотoreєстрації мають спектральну чутливість, що описується функцією $v(\lambda)$.

Наприклад, як відомо, людське око має чутливість до світла в діапазоні хвиль від $\lambda_{\min} = 0,35$ мкм до $\lambda_{\max} = 0,78$ мкм. При цьому функція спектральної чутливості досягає свого максимуму приблизно в середині цього діапазону і спадає до його країв.

Кожен засіб фотoreєстрації має індивідуальну характеристику спектральної чутливості, обумовлену фізикою приладу. Є фото- та відеодатчики ультрафіолетового й інфрачервоного діапазонів, які широко використовуються, наприклад, при проведенні спектрональних зйомок Землі з Космосу.

Як у разі спостереження об’єкта людиною, так і у разі використання фото- та відеодатчика спостережуване зображення є результатом усереднювання функції $c(x, y, \lambda)$ за діапазоном довжин хвиль з ваговою функцією $v(\lambda)$ й описується виразом:

$$f(x, y) = \int_{\lambda_{\min}}^{\lambda_{\max}} c(x, y, \lambda) v(\lambda) d\lambda. \quad (3)$$

Функцію $f(x, y)$ надалі називатимемо зображенням. Таким чином, зображення – це обмежена функція двох просторових змінних, задана в обмеженій прямокутній області.

Двовимірні лінійні системи. З курсу фізики добре відоме поняття оптичної системи, що здійснює перетворення зображень за певними правилами, що визначені сукупністю оптичних елементів та їх взаємозв'язком.

З математичної точки зору, під системою розуміємо правило L , що ставить у відповідність вхідній функції f вихідну функцію g . Розрізняють одновимірні $1D$ і двовимірні $2D$ -системи. Одновимірні системи здійснюють перетворення функції однієї змінної:

$$g(x) = L[f(x)]. \quad (4)$$

Відповідно двовимірні системи здійснюють перетворення функції двох змінних:

$$g(x, y) = L[f(x, y)]. \quad (5)$$

Оптичні системи по суті є двовимірними, але в деяких випадках можуть розглядатися як одновимірні.

Особливе місце серед систем займають лінійні системи. Система називається лінійною, якщо для неї справедливий принцип суперпозиції (накладення), який полягає в тому, що відгук системи на зважену суму двох вхідних дій дорівнює зваженийі сумі відгуків на кожну з дій, тобто:

$$L[a_1 f_1(x, y) + a_2 f_2(x, y)] = a_1 L[f_1(x, y)] + a_2 L[f_2(x, y)]. \quad (6)$$

У вивчені оптичних систем фундаментальну роль відіграє поняття точкового джерела світла. Точкове джерело світла описується дельта-функцією Дірака:

$$\delta(x, y) = \begin{cases} \infty, & x = 0, \quad y = 0 \\ 0, & x \neq 0, \quad y \neq 0. \end{cases} \quad (7)$$

Таким чином, точкове джерело має нескінченно велику щільність яскравості в нескінченно малій просторовій області – в точці. Безумовно, це математична абстракція, проте виключно корисна у фізиці та має ясне фізичне трактування: дельта-функція може бути визначена як межа звичайної функції, наприклад:

$$\delta(x, y) = \lim \left\{ a^2 \exp \left[-a\pi(x^2 + y^2) \right] \right\}. \quad (8)$$

Розглянемо $2D$ -лінійну систему, на вхід якої поданий сигнал у вигляді дельта-функції. Реакція системи на дельта-функцію буде різною для різних систем, називається імпульсним відгуком і служить характеристикою $2D$ -системи. Систему називають просторово-інваріантною, якщо її імпульсний відгук залежить від різниці координат вхідною (x, y) і вихідною (ξ, n) площин. Для оптичної системи, показаної на рисунку 2, це означає, що при переміщенні точкового джерела у вхідній (предметній) області зображення цього предмета в площині спостереження також змінюватиме положення, але зберігає форму.

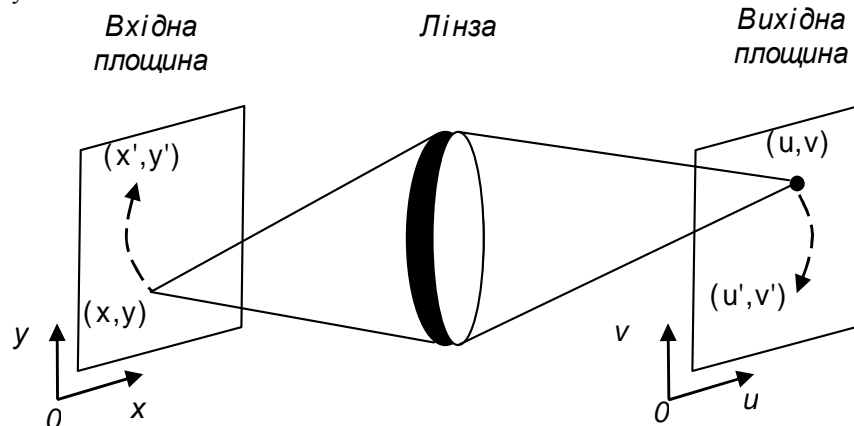


Рис. 2. Формування зображення об'єкта, що освітлений джерелом світла

Для просторово-інваріантних систем імпульсний відгук описується функцією:

$$h(x-u, y-v) \equiv h(\xi, n), \quad (9)$$

де $\xi = x - u, n = y - v$,

$$h(\xi, n) \equiv L[\delta(x, y)]. \quad (10)$$

Використовуючи функцію імпульсного відгуку, можна записати рівняння, що зв'язує зображення на вході і виході $2D$ -лінійної оптичної системи. Для цього вхідний сигнал $f(x, y)$ подамо на вхід $2D$ -системи з характеристикою $h(\xi, n)$. Вихідний сигнал запишемо у вигляді:

$$g(x, y) \equiv L[f(x, y)] = L \left\{ \iint_D f(\xi, \eta) \delta(x - \xi, y - \eta) d\xi d\eta \right\}. \quad (11)$$

Оскільки операція L лінійна й операція інтеграції у фігурних дужках (11) також лінійна, їх можна помінити місцями і записати:

$$g(x, y) \equiv L \iint_D f(\xi, \eta) \{ \delta(x - \xi, y - \eta) \} d\xi d\eta. \quad (12)$$

Враховуючи, що за визначенням

$$L\{\delta(x - \xi, y - \mu)\} \equiv h(x - \xi, y - \eta), \quad (13)$$

остаточно отримаємо вираз, що встановлює зв'язок між зображеннями у вхідній і вихідній площинах лінійної системи:

$$g(x, y) = \iint_D f(\xi, \eta) h(x - \xi, y - \eta) d\xi d\eta. \quad (14)$$

Рівняння (14) називається інтегралом згортки. З цього рівняння виходить, що, знаючи імпульсний відгук оптичної системи, можна розрахувати вихідне зображення за вхідним. Технічне завдання, яке необхідно вирішити в обробці зображень, – це введення оптичних зображень в пам'ять комп'ютера і виведення (візуалізація) зображень. В сучасних комп'ютерах завдання візуалізації вирішено. Для цього використовуються кольоворові дисплеї та інша техніка відображення інформації (проектори, планшети).

Введення зображень в пам'ять комп'ютера здійснюється за допомогою матричних приймачів випромінювання (МПВ). МПВ переводить оптичний розподіл яскравості зображення в електричні сигнали і далі в цифрові коди. Оскільки зображення є функцією двох просторових змінних, а електричний сигнал є функцією однієї змінної – часу, то для перетворення використовується розгортка.

Наприклад, при використанні телевізійної камери зображення прочитується по рядках: рядок за рядком. При цьому в межах кожного рядка залежність яскравості від просторової координати x перетвориться в пропорційну залежність амплітуди електричного сигналу від часу t . Перехід від кінця попереднього рядка до початку наступного здійснюється практично миттєво. При використанні МПВ зображення як би спостерігається крізь екран з множиною прозорих осередків. Кількість таких осередків для сучасних МПВ дуже велика і складає величину 1024×1024 і більше.

Початкове зображення, як вже зазначалося, є функцією двох безперервних аргументів. У той же час, цифрова пам'ять комп'ютера здатна зберігати тільки масиви даних. Тому введення зображення в комп'ютер неминуче пов'язане з дискретизацією зображень за просторовими координатами і за яскравістю.

Дискретизація зображень. Розглянемо безперервне зображення $f(x, y)$ як функцію двох просторових змінних x і y на обмеженій прямокутній області (рис. 3).

Введемо поняття кроку дискретизації T_1 за просторовою змінною x і T_2 за змінною y . Наприклад, можна уявити, що в точках, віддалених одна від одної на відстань T_1 по осі x , розташовані точкові МПВ. Якщо такі датчики встановити по усій прямокутній області, то зображення виявиться заданим на двовимірній площині:

$$f(n_1 T_1, n_2 T_2) = f(x, y)|_{x=n_1 T_1, y=n_2 T_2}. \quad (15)$$

Для скорочення запису позначимо:

$$f(n_1 T_1, n_2 T_2) = f(n_1, n_2). \quad (16)$$

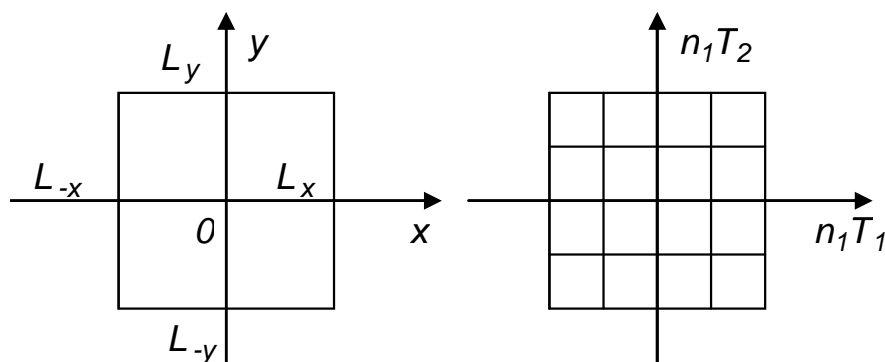


Рис. 3. Перехід від безперервного зображення до дискретного

Функція $f(n_1, n_2)$ є функцією двох дискретних змінних і називається двовимірною $2D$ -послідовністю. Тобто дискретизація зображення по просторових змінних переводить його в таблицю вибіркових значень. Розмірність таблиці (кількість рядків і стовпців) визначається геометричними розмірами початкової прямокутної області і вибором кроку дискретизації за формулою:

$$M_x = \left\lceil \frac{2L_x}{T_1} \right\rceil, \quad M_y = \left\lceil \frac{2L_y}{T_2} \right\rceil, \quad (17)$$

де $\lceil \cdot \rceil$ означає цілу частину числа.

Якщо область визначення безперервного зображення – квадрат $L_x = L_y = L$ і крок дискретизації обраний однаковим по осіах x і y $T_x = T_y = T$, то

$$M_x = M_y = M \quad (18)$$

і розмірність таблиці складає M^2 .

Елемент таблиці, отриманої шляхом дискретизації зображення, називають піксел. Розглянемо піксел $f(n_1, n_2)$. Це число набуває безперервних значень.

Для запису в пам'яті безперервна величина f має бути піддана аналогово-цифровому перетворенню з кроком Δ .

Операцію дискретизації безперервної величини за рівнями називають квантуванням. Кількість рівнів квантування дорівнює:

$$K = \left\lceil \frac{A}{\Delta} \right\rceil. \quad (19)$$

У практичних завданнях обробки зображень величина K варіється в широких межах від $K = 2$ ("бінарні" (чорно-білі) зображення) до $K = 2^{10}$ і більш (практично безперервні значення яскравості). Найчастіше вибираються $K = 2^8$, при цьому піксел зображення кодується одним байтом інформації. З усього згаданого вище робимо висновок, що піксели, що зберігаються в пам'яті комп'ютера, є результатом дискретизації початкового безперервного зображення за аргументами і за рівнями. Ясно, що кроки дискретизації T_1, T_2 і Δ повинні обиратися досить малими, для того, щоб погрішність дискретизації була незначною і цифрове представлення зберігало основну інформацію про зображення.

При цьому слід пам'ятати, що чим менше крок дискретизації і квантування, тим більший обсяг даних про зображення має бути записаний в пам'ять комп'ютера. З фізичної точки зору, вибір кроку дискретизації диктується шириною просторового спектра зображення. Чим більша ширина спектра Ω , тим менше крок дискретизації T . Практично при дискретизації прагнуть задоволінити співвідношенню

$$T \ll \frac{2\pi}{\Omega}. \quad (20)$$

$2D$ -послідовності. Розглянемо декілька практично важливих $2D$ -послідовностей, що мають аналітичний вираз.

Цифровий одиничний імпульс:

$$U_0(n_1, n_2) = \begin{cases} 1, & n_1 = n_2 = 0 \\ 0, & \text{інші} \end{cases}. \quad (21)$$

Неважко помітити, що ця послідовність подібна до дельта-функції (7). Довільна послідовність $f(n_1, n_2)$ може бути представлена у вигляді:

$$f(n_1, n_2) = \sum_{n_1=-\infty}^{\infty} \sum_{n_2=-\infty}^{\infty} f(k_1, k_2) U_0(n_1 - k_1, n_2 - k_2). \quad (22)$$

Цифровий одиничний імпульс:

$$U_{-1}(n_1, n_2) = \begin{cases} 1, & n_1 = n_2 \geq 0 \\ 0, & \text{інші} \end{cases}, \quad (23)$$

це функція, яка набуває одиничних значень в правому верхньому квадранті координатної площини і нульове значення в інших квадрантах.

Експоненціальна послідовність:

$$e(n_1, n_2) = a_1^{n_1} a_2^{n_2}. \quad (24)$$

Комплексна експонента:

$$e(n_1, n_2) = \exp[i(\omega_1 n_1 + \omega_2 n_2)], \quad (25)$$

де ω_1, ω_2 мають сенс просторових частот.

2D -системи. З математичної точки зору, 2D -система – це правило, що ставить у відповідність 2D -вхідній послідовності $f(n_1, n_2)$ 2D -вихідну послідовність $g(n_1, n_2)$.

Нагадаємо, що ми розглядаємо лінійні просторово-інваріантні системи. Подаючи на вхід системи функцію $u_0(n_1, n_2)$, на виході отримуємо функцію $h(n_1, n_2)$, яка називається імпульсною реакцією системи.

Імпульсна реакція дозволяє записати зв'язок між вхідною і вихідною двовимірними послідовностями системи у вигляді:

$$g(n_1, n_2) = \sum_{m_1=-\infty}^{\infty} \sum_{m_2=-\infty}^{\infty} f(m_1, m_2) h(n_1 - m_1, n_2 - m_2) \quad (26)$$

(порівняємо з (14)).

Формула 2D -згортки має велику обчислювальну складність. Для наочності розглянемо приклад, наведений нижче.

Приклад. Дано система з імпульсною реакцією:

$$h(n_1, n_2) = a^{n_1 n_2}, \quad -\infty \leq n_1, n_2 \leq \infty. \quad (27)$$

Вхідна послідовність має вигляд:

$$f(n_1, n_2) = \begin{cases} 1, & 0 \leq n_1, n_2 \leq 2 \\ 0 & \text{при інших } n_1 \text{ та } n_2 \end{cases}. \quad (28)$$

Необхідно розрахувати послідовність $g(n_1, n_2)$ на виході цієї системи.

Використовуючи формулу (26), отримаємо:

$$g(n_1, n_2) = \sum_{m_1=0}^2 \sum_{m_2=0}^2 a^{(n_1-m_1)(n_2-m_2)}. \quad (29)$$

Виконуючи підсумування, отримаємо:

$$g(n_1, n_2) = \left(a^{n_1 n_2} + a^{n_1(n_2-1)} + a^{n_1(n_2-2)} + a^{(n_1-1)n_2} + a^{(n_1-1)(n_2-1)} + \right. \\ \left. + a^{(n_1-1)(n_2-2)} + a^{(n_1-2)n_2} + a^{(n_1-2)(n_2-1)} + a^{(n_1-2)(n_2-2)} \right). \quad (30)$$

Складність обчислення 2D -згорток навіть в простих випадках дає уявлення про обчислювальні труднощі, з якими доводиться зустрічатися при роботі з 2D -системами.

З розглянутого вище прикладу видно, що, якщо вхідний сигнал (чи імпульсна реакція) має обмежену протяжність, нескінчenna сума (26) у виразі двовимірної згортки переходить в кінцеву:

$$g(n_1, n_2) = \sum_{m_1=0}^{M-1} \sum_{m_2=0}^{M-1} h(m_1, m_2) f(n_1 - m_1, n_2 - m_2). \quad (31)$$

З формули (29) видно, що для обчислення одного піксела на виході 2D -системи слід виконати $\approx M^2$ арифметичних операцій.

У обчислювальній математиці розроблені так звані алгоритми швидких згорток, які дозволяють скоротити це число до $\approx M \log_2 M$ операцій.

Висновки. Наведені завдання, що вирішуються при цифровій обробці в БАС, проаналізовано процес формування та дискретизації оптичних зображень, обрано математичну модель у вигляді 2D -послідовності. В подальшому доцільно здійснити розробку методу фільтрації 2D -послідовності.

Список використаної літератури:

1. Колобородов В.Г. Застосування методів і алгоритмів цифрової обробки зображень в оптико-електронних приладах / В.Г. Колобородов, К.В. Харитоненко // Вісник НТУУ “КПІ”. – К. : НТУУ “КПІ”, 2010. – № 40. – С. 23–31.
2. Слюсар В.И. Передача данных с борта БПЛА: стандарты НАТО / В.И. Слюсар // Электроника: наука, технология, бизнес. – 2010. – № 3. – С. 80–86.
3. Слюсар В.И. Радиолинии связи с БПЛА: примеры реализации / В.И. Слюсар // Электроника: наука, технология, бизнес. – 2010. – № 5. – С. 56–60.

4. Вітлінський В.В. Моделювання економіки : навч. посібник / В.В. Вітлінський. – К. : КНЕУ, 2003. – 408 с.
5. Підвищення ефективності функціонування системи обробки інформації та управління безпілотних літальних апаратів на основі застосування модулярної системи числення / В.І. Барсов, С.О. Сотник, В.О. Жадан та ін. // Зб. наук. праць Харківського ун-ту Повітряних Сил. – Х., 2011. – № 3(29). – С. 90–95.
6. Цепляєва Т.П. Метод выбора характеристик фотооборудования для БПЛА в зависимости от высоты полета / Т.П. Цепляєва, А.Н. Лохов // Открытые информационные и компьютерные интегрированные технологии. – Х., 2011. – № 49. – С. 48–52.
7. Ростопчин В.В. Применение цифровых оптических систем для беспилотных летательных аппаратов / В.В. Ростопчин, М.Л. Дмитриев [Электронный ресурс]. – Режим доступа : www.uav.ru.
8. Електронний ресурс. – Режим доступу : <http://uavforum.com/>.
9. STANAG 4609/AEDP-8. NATO Digital Motion Imagery Format [Електронний ресурс]. – Режим доступу : www.nato.int/structur/AC/224/standard/4609/4609.htm.
10. Проценко М.М. Аналіз структури та варіантів побудови безпілотних авіаційних комплексів / М.М. Проценко // Вісник ЖДТУ. – Житомир : ЖДТУ, 2012. – № 61(2). – С. 113–117.
11. Проценко М.М. Аналіз методів цифрової обробки відеозображенів апаратурою безпілотного літального апарату / М.М. Проценко // Вісник ЖДТУ. – Житомир : ЖДТУ, 2012. – № 62(3). – С. 67–72.

ПРОЦЕНКО Михайло Михайлович – кандидат технічних наук, провідний науковий співробітник наукового центру Житомирського військового інституту імені С.П. Корольова Національного авіаційного університету.

Наукові інтереси:

- обробка фотозображень з безпілотного літального апарату;
- цифрова обробка сигналів з використанням вейвлет-перетворень.

Стаття надійшла до редакції 24.04.2014